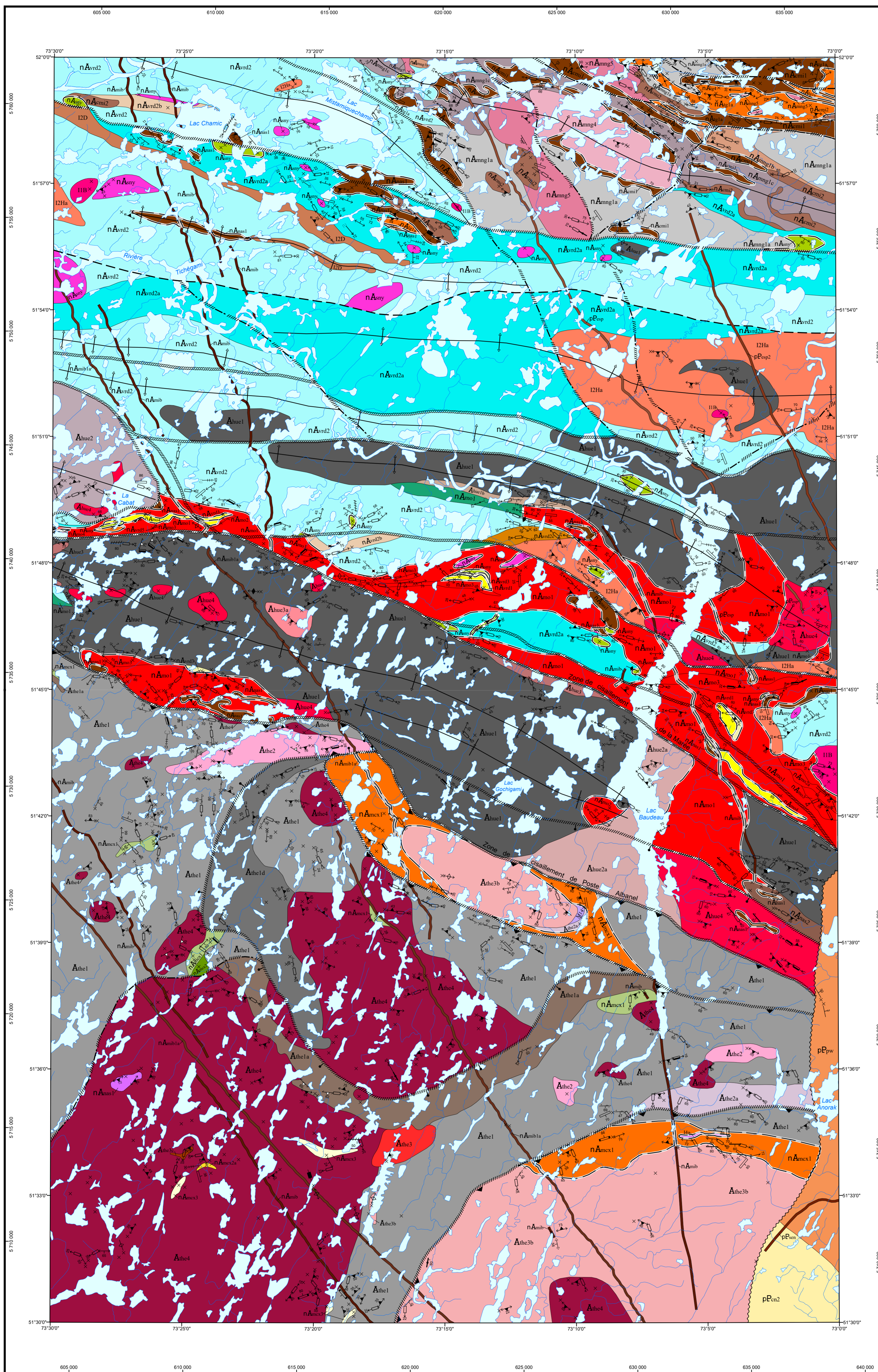


Géologie de la région du lac Chamic, sous-provinces d'Opatica et de La Grande, Eeyou Istchee Baie-James, Québec, Canada



LÉGENDE STRATIGRAPHIQUE

PROVINCE DU SUPÉRIEUR PALÉOPROTÉROZOÏQUE

Dykes du Lac Esprit (2069 ±1 Ma, Hamilton et al., 2001; 2090, Hamilton, communication personnelle, 2016)

- pEsp Diabase (NW-SE): gabbro
- pEsp2 Diabase (NW-SE): gabbro, gabbroïtite
- Dykes de Senneker (2214 ±12,4 Ma, Buchan et al., 1993; 2216 ±8/4 Ma, Mortensen dans Buchan et al., 1996; 2221 ±4 Ma, Davis et al., 2018)
- pSen Diabase (NE-SW): gabbroïtite

Groupe de Mistassini

Formation de Cheno

- pChn2 Grès argileux noir

Formation de Papaskwasati

- pPw Conglomérat et grès

NEOARCHÉEN

Essaim de dykes de Mistassini (2515 ±3 Ma, Hamilton, 2009; 2503 ±2 Ma, Davis et al., 2018)

- nAmd Diabase (NW-SE): gabbroïtite à olivine, localement porphyrique à plagioclase
- nAmd1 Diabase (NW-SE): gabbro porphyrique à phénocristaux de plagioclase

SOUS-PROVINCE DE LA GRANDE NEOARCHÉEN

Suite de Senay (2642 ±20 Ma, David, 2020)

- nAsy Pegmatite granitique blanche, localement rosée, à biotite ± grenat ± muscovite ± tourmaline

Formation de Voldrye

- nAvd3 Roche métasomatique à grenat-cordérite ± sillimanite ± anthophyllite
- nAvd2 Quartzite
- nAvd2 Paragneiss à biotite ± grenat dérivé de wacke ± arénite
- nAvd2c Métatexite dérivée de paragneiss et paragneiss migmatitisés
- nAvd2b Paragneiss arkosique et subarkosique, arénites indifférenciées
- nAvd2a Paragneiss nodulaire à biotite-grenat ± cordérite ± sillimanite dérivé de wacke ± arénite
- nAvd1 Conglomérat polygénique

Suite mafique-ultramafique de Chamic

- nAmc2 Gabbro
- nAmc1 Périodite et pyroxénite

Suite mafique-ultramafique de Nasacasou

- nAmc2 Gabbro
- nAmc1 Périodite et pyroxénite

Groupe de Tichégami

- nAtc Formation de fer
- nAtc1 Basalte amphibolitisé

Groupe du Lac des Montagnes (2732,2 ±3,9 Ma, 2720,5 ±2,5 Ma, 2706,4 ±5,7 Ma, 2703,6 ±4,9 Ma; David, 2020)

- nAmo3 Formation de fer à oxydes et formation de fer à silicates
- nAmo3 Roche volcanoclastique felsique, localement intermédiaire
- nAmo2 Roche volcanique intermédiaire
- nAmo2a Roche volcanique felsique
- nAmo1 Basalte amphibolitisé; niveaux de roche volcanique ultramafique

Complexe de Malngault

- nAmg5 Granite à biotite ± magnétite et pegmatite granitique
- nAmg4 Granodiorite foliée avec enclaves de tonalite
- nAmg1a Tonalite à biotite ± hornblende, foliée
- nAmg1b Diorite et diorite quartzifère, foliées
- nAmg1a Gneiss tonalitique et tonalite gneissique

ARCHÉEN

Complexe de la Hutte (2852,2 ±3,8 Ma, 2790,4 ±5,4 Ma, David, 2020)

- nAhc4 Granite à biotite ± magnétite
- nAhc3 Diorite et diorite quartzifère, à grain moyen à grossier
- nAhc3a Granodiorite porphyroïde
- nAhc2 Tonalite à biotite ± hornblende, foliée
- nAhc2a Granodiorite foliée avec enclaves de tonalite
- nAhc1 Gneiss tonalitique, localement granitique; granodiorite par endroits
- nAhc1b Gneiss tonalitique localement migmatitisé; métatexite dérivée de gneiss tonalitique

SOUS-PROVINCE D'OPATICA NEOARCHÉEN

Groupe de Michaux

- nAmx3 Paragneiss à biotite ± grenat dérivé de wacke
- nAmx3 Roche volcanique intermédiaire
- nAmx2a Roche volcanoclastique felsique
- nAmx1 Basalte amphibolitisé

ARCHÉEN

Complexe de Théodat (2833,5 ±3,0 Ma, David, 2020; 2843 ±7,0 Ma, David, 2023)

- nAhtc4 Granite à biotite ± magnétite, faible proportion de granodiorite
- nAhtc3 Granodiorite porphyroïde
- nAhtc3b Diorite et diorite quartzifère, à grain moyen à grossier
- nAhtc3b Monzodiorite, monzodiorite quartzifère et monzonite quartzifère localement porphyroïdes
- nAhtc2 Granodiorite foliée avec enclaves de tonalite
- nAhtc2a Tonalite à biotite ± hornblende, foliée
- nAhtc1 Gneiss tonalitique et tonalite gneissique
- nAhtc1d Gneiss granitique
- nAhtc1a Gneiss dioritique

LÉGENDE LITHOLOGIQUE

NEOARCHÉEN

- IIB Granite à biotite ± magnétite
- I2D Syénite
- I2Ha Monzodiorite, monzodiorite quartzifère, diorite, diorite quartzifère, communément porphyroïdes; injections de granite pegmatitique
- I4a Périodite, pyroxénite
- M14 Roche calco-silicatée

ZONE FAVORABLE À L'EXPLORATION MINIERE

- Cuivre
- Lithium
- Nickel
- Or
- Zinc

Cette carte géologique en format PDF comporte des calques (ou couches) qui regroupent les divers éléments du document (zones géologiques, hydrographie, affluements de glèdiche, etc.). Ces calques peuvent être affichés ou masqués dans la section « Calques » du « Volet du navigateur » d'Adobe Acrobat Reader ®.

Les symboles et abréviations utilisés sur cette carte sont décrits dans la publication DV 2014-06 du ministère de l'Énergie et des Ressources naturelles.

Localisation

33A04	33A03	33A02
32P13	32P14	32P15
32P12	32P11	32P10
32P06	32P06	32P07

Métadonnées

Surface de référence géodésique : Ellipsoïde GRS 80
 Système de référence géodésique : NAD 83 compatible avec le système mondial WGS 84
 Projection cartographique : Mercator transverse universelle (MTU), luseau 18
 Longitude d'origine : 73°15'
 Latitude d'origine : 0°

0 2 4 6 8 km
1:85 000

Sources

Données : Base de données topographiques et administratives (BDTA 250k)

Organisme

Ministère des Ressources naturelles et des Forêts

Réalisation

Géologie : Daniel Bandyayera, Gaëlle Saint-Louis et Nicolas Talon (2024)
 Références : Chown, E.H. (1962) - RP 477
 Chown, E.H. (1971) - RG 144
 Chown, E.H., Clay, J.-L. (1973) - DP 133
 Assistance technique : Karine Allard

Production : Ministère des Ressources naturelles et des Forêts
 Direction générale de Géologie Québec

Diffusion : Ministère des Ressources naturelles et des Forêts
 Direction de l'information géologique et de la promotion

Le présent document n'a aucune portée légale
 © Gouvernement du Québec, 4^e trimestre 2024

BG 2024-05-C01

Carte préliminaire du Bulletin géologique : <https://gq.mines.gouv.qc.ca/bulletins-geologiques/bg-2024-05-chamic/>

Pour obtenir les données les plus récentes concernant cette région, nous vous suggérons de consulter les produits géomatiques du Système d'information géométrique du Québec (SIGEQM).

Bulletin géologique

SAGÉOM
Système d'information géométrique du Québec